



Direkt térfogat-vizualizáció

Csébfalvi Balázs
Irányítástechnika és Informatika Tanszék
Budapesti Műszaki és Gazdaságtudományi Egyetem

Vizualizációs algoritmusok csoportosítása



- Indirekt vizualizáció: Átmeneti reprezentációra van szükség
- Direkt vizualizáció: Közvetlenül a diszkrét adatot dolgozzuk fel
 - Képsorrendi (image order) megközelítés – a feldolgozást a pixelek sorrendjében végezzük
 - Objektumsorrendi (object order) megközelítés – a feldolgozást a voxelek sorrendjében végezzük
 - Hibrid megközelítés – ötvözi az objektumsorrendi és a képsorrendi módszerek előnyeit

2 / 81

Képsorrendi megközelítés - térfogati sugárkövetés



- Nincsenek analitikusan definiált objektumok
- A felületeket egy diszkrét implicit függvény reprezentálja
- Szükség van a folytonos implicit függvény rekonstrukciójára (approximáció/interpoláció)
- A pontos felületi normálisok a diskretizálás során elvesznek
- Az árnyaláshoz becsülni kell a normálvektorokat

3 / 81

Belső struktúrák megjelenítése



- Szeletelés: a térfogat keresztmetszetét egy adott színskálával megjelenítjük
- Szintfelület: nem átlátszó vagy átlátszó felületek online rekonstrukciója
- A különböző anyagok elnyelik a kibocsátott vagy visszavert fényt



4 / 81

Ray Tracing vs. Ray Casting



- A klasszikus sugárkövetés rekurzív (többszörös visszaverődések modellezése)
- Mért térfogati adatokban általában csak az elsődleges sugarakat (viewing ray – primary ray) követjük mivel a pontatlan normálvektorok akumulált hibát eredményeznek
- Távolagsztranzformációval konvertált geometriai modellek esetén a becsült gradiensek elég pontosak a rekurzív sugárkövetéshez



5 / 81

A sugárprofil definíciója

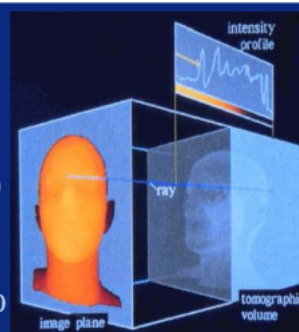


- Térfogati adat: skálármező a 3D térben
- Sugár: félegyenes
- Minták a sugár mentén: sugárprofil

$$f(\mathbf{x}) \in \mathbb{R}^1, \mathbf{x} \in \mathbb{R}^3$$

$$r(t) \in \mathbb{R}^3, t \in \mathbb{R}^1 > 0$$

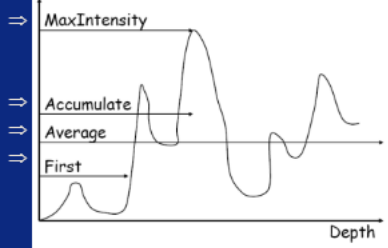
$$f(r(t)) \in \mathbb{R}^1, t \in \mathbb{R}^1 > 0$$



6 / 81

Sugárprofilok leképezései

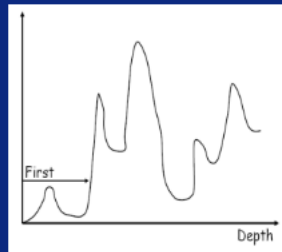
- MIP



- Alpha-blending
- Röntgen
- Első ütközés

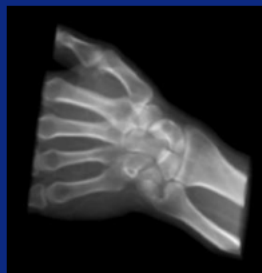
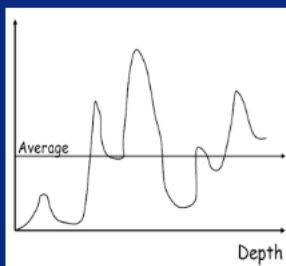
7 / 81

Első ütközés (first-hit ray casting)



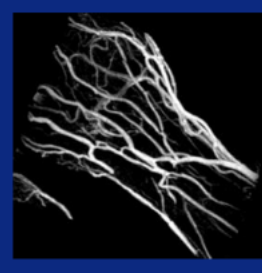
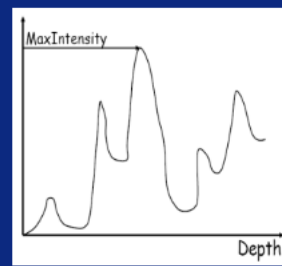
8 / 81

Röntgen-szimuláció



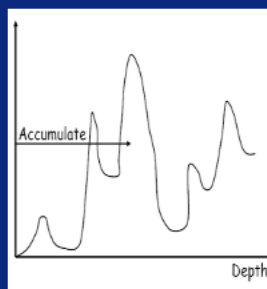
9 / 81

MIP - Maximum Intensity Projection



10 / 81

Akkumuláció - Alpha-blending

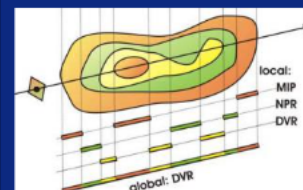


11 / 81

Többszintű térfogat-vizualizáció

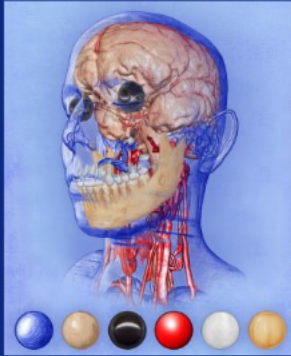


- Szegmentálás
- Az egyes tartományokhoz különböző kompozitáló operátorokat használunk



12 / 81

Stílus átviteli függvények



- Illusztratív megközelítés
- Az egyes tartományokhoz megjelenítési stílust rendelünk

13 / 81

Térfogat-vizualizációs integrál



- A sugár parametrikus egyenlete:

$$\mathbf{r}(t) = \mathbf{o} + \mathbf{d} \cdot t$$

- Térfogat-vizualizációs integrál:

$$I = \int_0^{t_{max}} I(t) e^{-\int_0^t \mu(s) ds} dt$$

- Diszkrét közelítés:

$$I \approx \sum_{i=0}^N c(t_i) \cdot \alpha(t_i) \prod_{j=0}^{i-1} (1 - \alpha(t_j))$$

14 / 81

Rekurzív kiértékelés



- Back to front:

$$C_{out} = c(t_i) \cdot \alpha(t_i) + C_{in} \cdot (1 - \alpha(t_i))$$

- Front to back:

- akkumulált opacitás puffere van szükség
- abbahagyjuk, ha az akkumuláló opacitás már elért egy küszöbértéket (early ray termination)

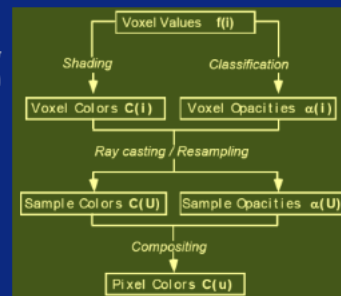
15 / 81

Klasszikus Ray Casting



- Marc Levoy 1988

1. $C(i)$ és $\alpha(i)$ értékeit az átviteli függvény (Transfer Function) határozza meg
2. Ray casting, interpoláció
3. Kompozitálás



16 / 81

1. lépés: osztályozás, árnyalás

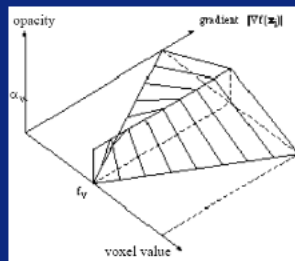


- Árnyalás: $f(i) \rightarrow C(i)$

- átviteli függvény
- Phong modell
- normálvektor: becsült gradiens

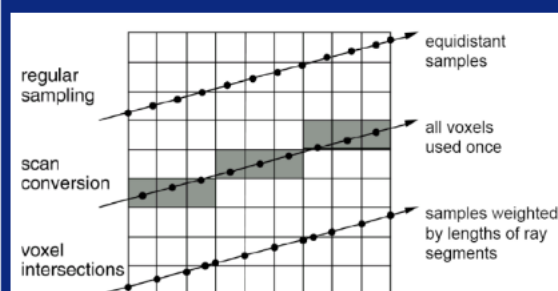
- Osztályozás: $f(i) \rightarrow \alpha(i)$

- Levoy 88: moduláció a gradiens nagyságával
- a jól definiált átmeneteket hangsúlyozza



17 / 81

2. lépés: Sugarak bejárása



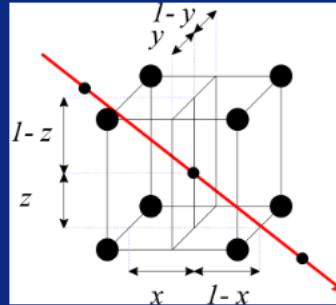
18 / 81

Sugarak bejárása, interpoláció

- Voxel-alapú vs. cella-alapú bejárás
- Trilineáris (interpoláció a cellán belül) vs. bilineáris (interpoláció a cellák lapjain)
- Trilineáris interpoláció:
 1. 4 új minta x irányban (interpolált négyzet)
 2. 2 új minta y irányban (interpolált vonal)
 3. 1 új minta z irányban (interpolált pont)
- Egységnyi vs. változó lépésköz: A kompozitálás különböző eredményt ad \Rightarrow opacitás-korrekciónak

19 / 81

Interpoláció - Újramintavételezés



20 / 81

3. lépés: kompozitálás

- Back-to-Front (B2F):
 - $Out_i = In_i (1 - \alpha_i) + C_i \alpha_i$, $In_{i+1} = Out_i$
 - példa:
 - Voxel i: C_i = piros, α_i = 30%, In_i = fehér
 - Kompozitálás után: 70% fehér + 30% piros
- Front-to-Back (F2B):
 - Akkumulált szín: $C_{akk} = C_{akk} + (1 - \alpha_{akk}) C_i \alpha_i$
 - Akkumulált opacitás: $\alpha_{akk} = \alpha_{akk} + (1 - \alpha_{akk}) \alpha_i$

21 / 81

Összehasonlítás

- Back-to-Front (B2F) két voxelre:
 - Háttér: In_0
 - 1. voxel: $Out_0 = In_0 (1 - \alpha_0) + C_0 \alpha_0 = In_1$
 - 2. voxel: $Out_1 = In_1 (1 - \alpha_1) + C_1 \alpha_1$, $In_{i+1} = In_0 (1 - \alpha_0)(1 - \alpha_1) + C_0 \alpha_0 (1 - \alpha_1) + C_1 \alpha_1$
- Front-to-Back (F2B) két voxelre:
 - Inicializálás: $C_{akk} = 0$, $\alpha_{akk} = 0$
 - 2. voxel: $C_{akk} = C_{akk} + (1 - \alpha_{akk}) C_1 \alpha_1 = C_1 \alpha_1$
 $\alpha_{akk} = \alpha_{akk} + (1 - \alpha_{akk}) \alpha_1 = \alpha_1$
 - 1. voxel: $C_{akk} = C_1 \alpha_1 + (1 - \alpha_1) C_0 \alpha_0$
 $\alpha_{akk} = \alpha_1 + (1 - \alpha_1) \alpha_0$
 - Háttér: $C_{akk} = C_1 \alpha_1 + (1 - \alpha_1) C_0 \alpha_0 + (1 - \alpha_1)(1 - \alpha_0) In_0$
 $1 - (\alpha_1 + (1 - \alpha_1) \alpha_0)$

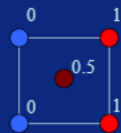
22 / 81

Opacitással modulált interpoláció

Interpoláció opacitás-moduláció nélkül



Interpoláció opacitás-modulációval



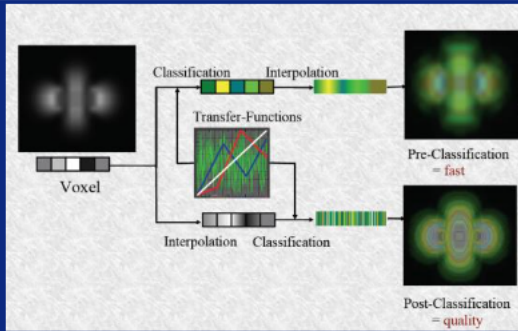
23 / 81

Preklasszifikáció vs. Posztklasszifikáció

- Preklasszifikáció
 - A szín és opacitás értékeket a voxelekhez rendeljük hozzá
 - A mintavételi pontokban ezeket az értékeket interpoláljuk (opacitás-moduláció)
- Posztklasszifikáció
 - a sűrűségértékeket (és a gradienseket) interpoláljuk
 - A mintavételi pontokhoz rendelünk szintet az átviteli függvény szerint
 - A mintavételi pontokat árnyaljuk az interpolált gradiens alapján

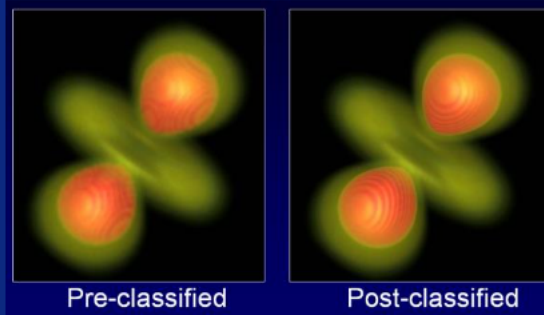
24 / 81

Preklasszifikáció vs. Posztklasszifikáció



25 / 81

Preklasszifikáció vs. Posztklasszifikáció



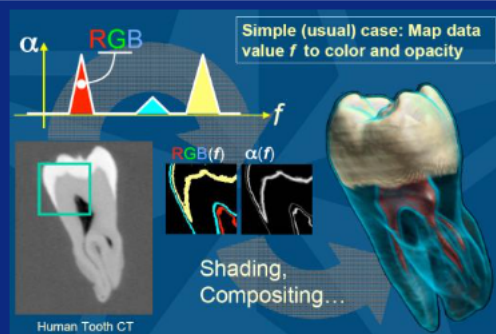
26 / 81

Átviteli függvények – Transfer functions

- Input:
 - sűrűség
 - gradiens (elsőrendű deriváltakból)
 - görbület (másodrendű deriváltakból)
 - pozíció (szegmentáló maszk alapján)
- Output:
 - szín (pl. RGB formátum)
 - opacitás

27 / 81

Átviteli függvények – Transfer functions



28 / 81

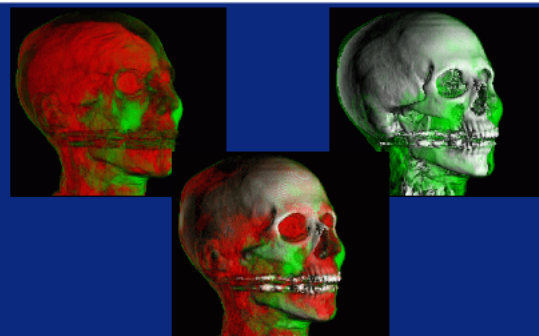
Fuzzy átviteli függvények

- Feltétel: Minden cellában legfeljebb két anyag keveréke lehet
- Bázisfüggvények lineáris kombinációja



29 / 81

Sugárkövetéssel generált képek

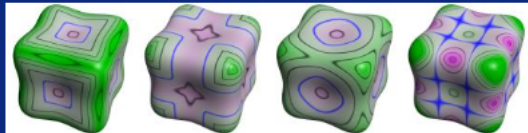


30 / 81

Görbület alapú átviteli függvények

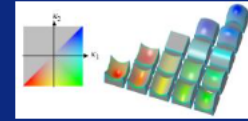
- Hesse mátrix – a másodrendű parciális deriváltakat tartalmazza
- A színeket a Hesse mátrix sajátértékei alapján rendeljük hozzá a voxelekhez

$$\mathbf{H} = \begin{bmatrix} \frac{\partial^2 f}{\partial x^2} & \frac{\partial^2 f}{\partial x \partial y} & \frac{\partial^2 f}{\partial x \partial z} \\ \frac{\partial^2 f}{\partial x \partial y} & \frac{\partial^2 f}{\partial y^2} & \frac{\partial^2 f}{\partial y \partial z} \\ \frac{\partial^2 f}{\partial x \partial z} & \frac{\partial^2 f}{\partial y \partial z} & \frac{\partial^2 f}{\partial z^2} \end{bmatrix}$$



κ_1 κ_2 $(\kappa_1 + \kappa_2)/2$ $\kappa_1 \kappa_2$ 31 / 81

Görbület alapú átviteli függvények



32 / 81

Brute-force Ray Casting (B2F)

```
RGB Volume::RayCasting(Vector pos, Vector dir)
{
    RGB color_acc;
    DBL tmin = this->EntryPoint(), t = this->ExitPoint();
    while(t > tmin)
    {
        Vector sample = pos + dir * t;
        DBL density = this->Resample(sample); // trilinear interpolation
        Vector gradient = this->ResampleGradient();
        opacity = OpacityFunction(density, gradient.Magnitude());
        color = ColorFunction(density) * Shading(gradient);
        color_acc = color_acc * (1 - opacity) + color * opacity; t--;
    }
    return color_acc;
}
```

33 / 81

Brute-force Ray Casting (F2B)

```
RGB Volume::RayCasting(Vector pos, Vector dir)
{
    RGB color_acc; DBL opacity_acc = 0;
    DBL t = this->EntryPoint(), tmax = this->ExitPoint();
    while(t < tmax)
    {
        Vector sample = pos + dir * t;
        DBL density = this->Resample(sample); // trilinear interpolation
        Vector gradient = this->ResampleGradient();
        opacity = OpacityFunction(density, gradient.Magnitude());
        color = ColorFunction(density) * Shading(gradient);
        color_acc += (1 - opacity_acc) * color * opacity;
        opacity_acc += (1 - opacity_acc) * opacity; t++;
    }
    return color_acc;
}
```

34 / 81

First-Hit Ray Casting

```
RGB Volume::RayCasting(Vector pos, Vector dir, DBL threshold)
{
    DBL t = this->EntryPoint(), tmax = this->ExitPoint();
    while(t < tmax)
    {
        Vector sample = pos + dir * t;
        DBL density = this->Resample(sample); // trilinear interpolation
        if(density > threshold)
        {
            Vector gradient = this->ResampleGradient();
            color = Shading(gradient);
            return color;
        }
        t++;
    }
    return BACKGROUND;
}
```

35 / 81

Gyorsító módszerek

- Primitív műveletek optimalizálása SIMD utasításokkal (SSE)
- Koherencia kihasználása (adat-koherencia, sugár-koherencia, frame-koherencia)
- Hierarchikus adatstruktúrák (piramis, octree)
- Üres régiók átugrása
- Potenciálmezők alkalmazása
- Hibrid módszerek (PARC – Polygon Assisted Ray Casting)
- GPU implementáció

36 / 81

Vektor osztály

```
struct Vector {
    float x, y, z, w;

    Vector(float x0, float y0, float z0, float w0 = 0) { x = x0; y = y0; z = z0; w = w0; }

    Vector operator*(float a) { return Vector(x * a, y * a, z * a, w * a); }

    Vector operator+(Vector& v) { return Vector(x + v.x, y + v.y, z + v.z, w + v.w); }

    Vector operator-(Vector& v) { return Vector(x - v.x, y - v.y, z - v.z, w - v.w); }

    float operator*(Vector& v) { return (x * v.x + y * v.y + z * v.z); }

    Vector operator%(Vector& v) {
        return Vector(y * v.z - z * v.y, z * v.x - x * v.z, x * v.y - y * v.x);
    }

    float Length() { return sqrt(x * x + y * y + z * z); }
};
```

37 / 81

Vektor osztály SSE utasításokkal

```
struct Vector {
    float x, y, z, w;
public:
    Vector operator+(Vector& v) {
        __declspec(align(16)) Vector res;
        __asm {
            mov     esi, this
            mov     edi, v
            movups  xmm0, [esi]
            movups  xmm1, [edi]
            addps   xmm0, xmm1
            movaps  res, xmm0
        }
        return res;
    }
};
```

38 / 81

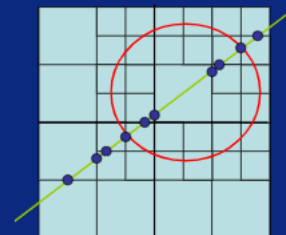
Early ray termination

```
RGB Volume::RayCasting(Vector pos, Vector dir)
{
    RGB color_acc; DBL opacity_acc = 0;
    DBL t = this->EntryPoint(), tmax = this->ExitPoint();
    while(t < tmax)
    {
        Vector sample = pos + dir * t;
        DBL density = this->Resample(sample); // trilinear interpolation
        Vector gradient = this->ResampleGradient();
        opacity = OpacityFunction(density, gradient.Magnitude());
        color = ColorFunction(density) * Shading(gradient);
        color_acc += (1 - opacity_acc) * color * opacity;
        opacity_acc += (1 - opacity_acc) * opacity; t++;
        if(opacity_acc > 0.999) break;
    }
    return color_acc;
}
```

39 / 81

Min/Max Octree

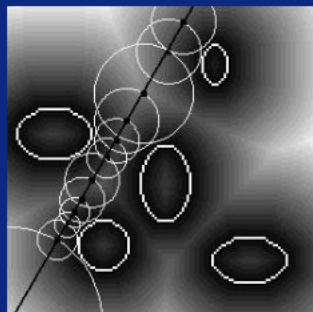
- Minden szinten tároljuk a minimális d_{\min} és a maximális d_{\max} sűrűségeket
- A szintfelületet definiáló küszöbérték legyen t
- Megkeressük az adott mintavételi pontot tartalmazó legnagyobb blokkot, melyre $t < d_{\min}$ vagy $t > d_{\max}$
- Ezt a blokkot a szintfelület biztosan nem metszi, így a sugarat léptetni tudjuk a kilépési pontra



40 / 81

Potenciálmező

- Minden cellában tároljuk a legközelebbi felületi pont távolságát
- Ezzel a távolsággal tudjuk léptetni a sugarat
- Nem hagyunk ki metszéspontot



41 / 81

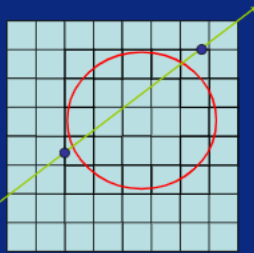
Hibrid gyorsítás

- Objektumsorrendi módszerek:
 - könnyű az üres régiókat kezelni
 - relative nagy overhead (vetítés, rasterizálás)
 - ritka térfigatli adatokra hatékonyabb
- Képsorrendi módszerek:
 - nehéz az üres régiókat kezelni
 - a sebesség inkább a pixelek mint a voxelek számától függ
 - egyenletes kitöltöttség esetén hatékonyabb
- Hibrid módszerek:
 - rendszerint több lépés (objektum- és képsorrendi) kombinációja
 - a két megközelítés előnyeinek ötvözése

42 / 81

Polygon-Assisted Ray Casting

- Megkeressük azokat a cellákat, melyeket a szintfelület metsz
- A cellák lapjait a grafikus hardverrel két mélységi pufferbe (legközelebbi / legtávolabbi) rendereljük
- A mélységi puffer tartalma alapján meghatározható a sugarak kezdő és végpontja



43 / 81

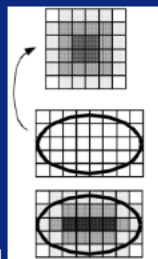
Pacázás - Splatting

- Objektumsorrendi megközelítés
- A voxeleket sorra egymásután vetítjük a képsíkra
- Az üres tartományok kezelésének nincs többletköltsége
- Cache koherencia kihasználása
- Hátrányok
 - A finom részletek elmosódnak
 - Szintfelület megjelenítésére csak korlátozottan alkalmas
 - A takart tartományokat is ki kell értékelni

44 / 81

Pacázás: alapötlet

- Az egyes voxelek nem csak egy pixelre vetülnek, hanem több pixelen hagyják a lenyomatukat (footprint kernel)
- Széttérítjük a voxel értékét a pixeleken
- A nagy pixel/voxel arányhoz nagyobb lenyomat kell de ez homályossá teszi a képet (blurring)



45 / 81

Pacázás - hatékonyság

- Lenyomat (footprint): kiintegrált rekonstrukciós kernel
- Ha a rekonstrukciós kernel gömbszimmetrikus, akkor a lenyomat kör alakú és független a párhuzamos vetítés irányától
- Perspektív vetítésnél a lenyomat ellipszis alakú, de szintén előre kiintegrálható
- Perspektív vetítésnél az ellipszisek irányát is számításba kell venni

46 / 81

Pacázás

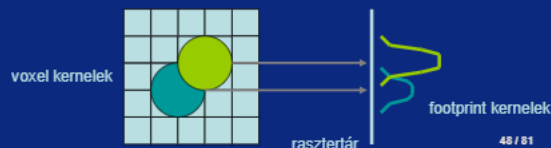
- Hatáskör (support): a 3D rekonstrukciós kernel által lefedett tartomány
- Minden voxelhez tartozik egy a voxel értékével súlyozott kernel
- Minden kernel egy 2D lenyomatot hagy a képen (szín, opacitás)
- A súlyozott lenyomatok akumulálódnak a képen



47 / 81

Pacázás

- Hatáskör (support): a 3D rekonstrukciós kernel által lefedett tartomány
- Minden voxelhez tartozik egy a voxel értékével súlyozott kernel
- Minden kernel egy 2D lenyomatot hagy a képen (szín, opacitás)
- A súlyozott lenyomatok akumulálódnak a képen



48 / 81